

### 3 Modelagem matemática

Nesta seção é apresentada a base matemática que foi utilizada para modelar o problema de interferências entre sistemas via satélite. Aspectos técnicos envolvendo o cálculo da razão portadora - interferência e a modelagem probabilística dos ganhos das antenas das estações terrenas são apresentados nas seções seguintes.

#### 3.1 Calculo da Razão Portadora-Interferência

Nesta seção são desenvolvidas expressões para as razões portadora-interferência de entrada única e agregada. Para o cálculo da razão portadora-interferência de entrada única, considere a situação apresentada na Figura 3.1 onde estão ilustrados dois enlaces de comunicação por satélite um deles pertencente à rede interferente, que utiliza o satélite  $S_1$ , e o outro pertencente à rede interferida, que utiliza o Satélite  $S_v$ . Note que os parâmetros associados ao enlace da rede interferente estão indicados por letras assinaladas superiormente com o sinal "prime". Ainda nesta figura,  $T_1, R_1, T_v$  e  $R_v$  indicam, respectivamente, as posições geográficas das estações terrenas de transmissão e recepção das redes interferente e vítima.

Considerando a Figura 3.1, a razão portadora-interferência nos terminais da antena de recepção no satélite  $S_v$  (razão portadora-interferência no lance de subida), em condições de propagação em espaço livre, se escreve.

$$\left(\frac{C}{I}\right)_{up} = \frac{P_2 g_3(0) \frac{1}{g_3(\gamma) \ell_1}}{\frac{P_2' g_3'(0) g_1'(\theta) g_2(\rho)}{g_1'(0)} \frac{1}{g_2'(\alpha)} \frac{1}{g_3'(\beta) \ell_3}} \quad (3-1)$$

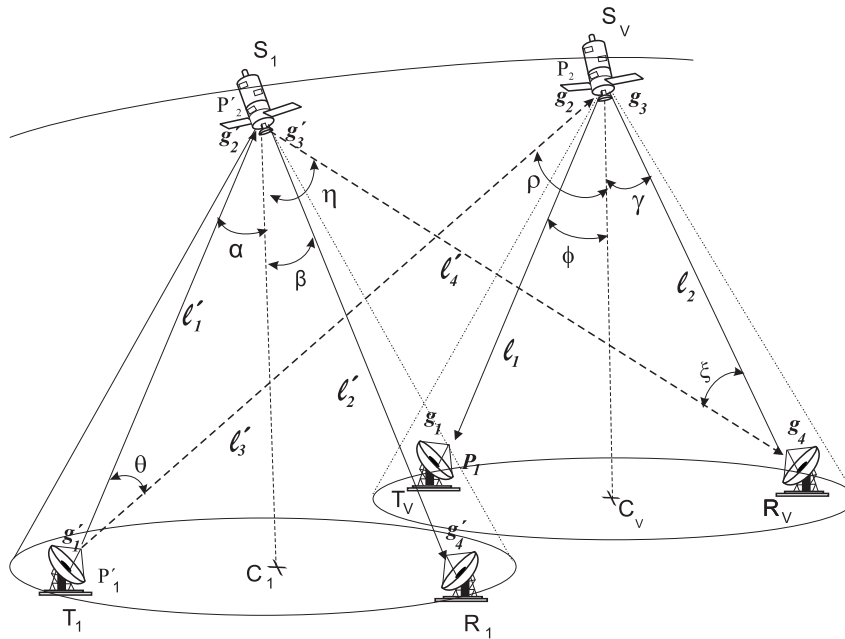


Figura 3.1: Geometria utilizada no cálculo de interferência numa rede de comunicações via Satélite

onde  $P_2$  é a potência da portadora interferida na saída da antena receptora do satélite  $S_V$  (correspondente a situação em que  $R_V$  está no centro do feixe de transmissão da antena desse satélite),  $P'_2$  é a potência da emissão interferente na faixa da portadora interferida, na saída na antena receptora do satélite  $S_1$  (na situação em que  $R_1$  está no centro do feixe de transmissão da antena desse satélite),  $l_1$  é a perda de espaço livre associada ao percurso do sinal desejado no lance de subida e  $l'_3$  é a perda de espaço livre associada ao percurso da interferência no lance de subida.

Os ganhos de antenas que aparecem em (3-1) correspondem a:

- $g_3(0)$  ganho máximo da antena transmissora do Satélite  $S_V$
- $g'_3(0)$  ganho máximo da antena transmissora do Satélite  $S_1$
- $g_3(\gamma)$  ganho da antena transmissora do satélite  $S_V$  numa direção forma um ângulo  $\gamma$  com a direção de apontamento do feixe.
- $g'_3(\beta)$  ganho da antena transmissora do satélite  $S_1$  numa direção forma um ângulo  $\beta$  com a direção de apontamento do feixe.
- $g'_1(\theta)$  ganho da antena da estação terrena transmissora numa direção que forma um ângulo  $\theta$  com a direção de apontamento da antena
- $g'_1(0)$  ganho máximo da antena da estação terrena transmissora

- $g'_2(\alpha)$  ganho da antena receptora do satélite  $S_1$  numa direção que forma um ângulo  $\alpha$  com a direção de apontamento do feixe
- $g_2(\rho)$  ganho da antena receptora do satélite  $S_v$  numa direção que forma um ângulo  $\rho$  com a direção de apontamento do feixe

Note que na obtenção de (3-1) a partir do diagrama da Figura 3.1 considerou-se que, independentemente das posições das estações terrenas transmissoras, as potências nos terminais das antenas receptoras dos satélites interferente e vítima seriam constantes e respectivamente iguais a  $P'_2$  e  $P_2$ . Isto significa, dependendo das posições das estações terrenas transmissoras das redes interferente e vítima, as potências de transmissão das antenas das estações terrenas,  $P'_1$  e  $P_1$ , são ajustadas para garantir os valores de  $P'_2$  e  $P_2$ .

Observe que no caso de satélites geoestacionário, as perdas de espaço livre  $\ell'_1$  e  $\ell'_3$  podem ser considerados aproximadamente iguais neste caso, (3-1) pode ser escrita a seguir:

$$\left(\frac{C}{I}\right)_{up} = \frac{P_2 g_3(0) g'_1(0) g'_2(\alpha) g'_3(\beta)}{P'_2 g'_3(0) g'_1(\theta) g_2(\rho) g_3(\gamma)} \quad (3-2)$$

De modo análogo, a razão portadora-interferência nos terminais da antena da estação terrena receptora da rede interferida (razão portadora-interferência no lance de descida), em condições de propagação em espaço livre, se escreve

$$\left(\frac{C}{I}\right)_{down} = \frac{P_2 g_3(\gamma) \delta g_4(0) \frac{1}{\ell_2}}{P'_2 g'_3(0) \delta' \frac{1}{g'_3(\beta)} \frac{g'_3(\eta) g_4(\xi)}{\ell'_4}} \quad (3-3)$$

onde  $\ell_2$  é a perda de espaço livre associada ao percurso do sinal desejado, no lance de descida,  $\ell'_4$  é a perda de espaço livre associada ao percurso da interferência no lance de descida.

Os ganhos de antenas que aparecem em (3-3) correspondem a:

- $g'_3(\eta)$  ganho da antena transmissão do satélite numa direção que forma um ângulo  $\eta$  com a direção de apontamento do feixe,
- $g_4(\xi)$  ganho da antena da estação terrena receptora numa direção que forma um ângulo  $\xi$  com a direção de apontamento da antena.
- $g_4(0)$  ganho máximo da antena da estação terrena receptora.
- $\delta$  ganho do Satélite

Em (3-3)  $\delta$  e  $\delta'$  representam os ganhos dos satélites vitima e interferente, que podem ser determinados utilizando-se o diagrama da Figura 3.2. Observe que conforme indicado na Figura 3.2 os ganhos de transmissão  $\gamma_v$  e  $\gamma_1$  podem ser escritos como

$$\gamma_v = \frac{\delta g_3(\gamma) g_4(0)}{\ell_2} \quad (3-4)$$

$$\gamma_1 = \frac{\delta' g'_3(\beta) g'_4(0)}{\ell'_2} \quad (3-5)$$

onde  $\delta$  e  $\delta'$  correspondem, respectivamente, aos ganho da estação satélite das redes vitima e interferente.

Alternativamente, note que  $\gamma_v$  e  $\gamma_1$  podem ainda ser escritas como

$$\gamma_v = \gamma_{v0} \frac{g_3(\gamma)}{g_3(0)} \quad (3-6)$$

e

$$\gamma_1 = \gamma_{10} \frac{g'_3(\beta)}{g'_3(0)} \quad (3-7)$$

onde  $\gamma_{v0}$  é o ganho de transmissão desde a saída da antena de recepção do satélite  $S_v$  até a saída da antena de recepção de uma estação terrena localizada no centro do feixe de transmissão da antena do mesmo satélite de modo análogo  $\gamma_{10}$  é o ganho de transmissão desde a saída da antena de recepção do satélite  $S_1$  até a saída da antena de recepção de uma estação terrena localizada no centro do feixe de transmissão da antena do mesmo satélite.

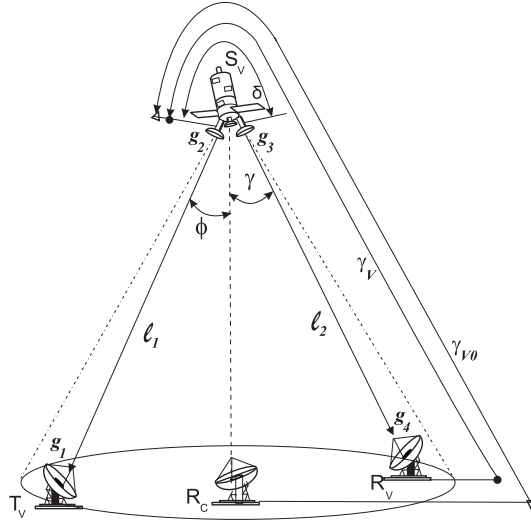


Figura 3.2: Cálculo de fator Gama  $\gamma$

Comparando-se (3-4) e (3-6) e (3-5) e (3-7) é possível obter os ganhos  $\delta$  e  $\delta'$  dos satélites das redes vítimas e interferentes, dados por

$$\delta = \frac{\gamma_{v0} \ell_2}{g_4(0)g_3(0)} \quad (3-8)$$

e

$$\delta' = \frac{\gamma_{i0} \ell_2'}{g_4'(0)g_3'(0)} \quad (3-9)$$

Substituindo se (3-8) e (3-9) em (3-3) obtém-se

$$\left(\frac{C}{I}\right)_{down} = \frac{P_2 g_3(0) \frac{\gamma_{v0} \ell_2}{g_4(0)g_3(0)} g_4(0) \frac{1}{\ell_2}}{P_2' g_3'(0) \frac{\gamma_{i0} \ell_2'}{g_4'(0)g_3'(0)} \frac{1}{g_3'(\beta)} \frac{g_3'(\eta)g_4(\xi)}{\ell_4'}}$$

ou ainda, considerando-se  $\ell_2'$  e  $\ell_4'$  como sendo iguais, (3-10) pode ser escrita como

$$\left(\frac{C}{I}\right)_{down} = \frac{P_2 \gamma_{v0} g_4'(0) g_3'(\beta)}{P_2' \gamma_{i0} g_3'(\eta) g_4(\xi)} \quad (3-10)$$

A razão portadora-interferência total, é obtida utilizando-se a conhecida relação,

$$\left(\frac{C}{I}\right)_{tot}^{-1} = \left(\frac{C}{I}\right)_{up}^{-1} + \left(\frac{C}{I}\right)_{down}^{-1} \quad (3-11)$$

Considerando-se (3-11) , (3-2) e (3-10), obtém-se finalmente

$$\left(\frac{C}{I}\right)_{tot} = \left[ \frac{P'_2 g'_3(0) g_3(\gamma) g_2(\rho) g'_1(\theta)}{P_2 g_3(0) g'_1(0) g'_2(\alpha) g'_3(\beta)} + \frac{P'_2 \gamma_{10} g'_3(\eta) g_4(\xi)}{P_2 \gamma_{v0} g'_4(0) g'_3(\beta)} \right]^{-1} \quad (3-12)$$

### 3.2

#### Ganhos das Antenas das Estações Terrenas

Neste trabalho, os ganhos das antenas das estações terrenas transmissora interferente e receptora interferida são modelados como variáveis aleatórias.

Para tal, observa-se inicialmente que (3-12) pode ser reescrita como:

$$\left(\frac{C}{I}\right)_{tot}^{-1} = \left(\frac{I}{C}\right)_{tot} = k_u g'_1(\theta) + k_d g_4(\xi) \quad (3-13)$$

onde  $k_u$  e  $k_d$  são dados por

$$k_u = \frac{P'_2 g'_3(0) g_3(\gamma) g_2(\rho)}{P_2 g_3(0) g'_3(\beta) g'_2(\alpha) g'_1(0)} \quad (3-14)$$

e

$$k_d = \frac{P'_2 \gamma_{10} g'_3(\eta)}{P_2 \gamma_{v0} g'_3(\beta) g'_4(0)} \quad (3-15)$$

Em (3-13),  $k_u$  e  $k_d$  são considerados constantes e os ganhos  $g'_1(\theta)$  e  $g_4(\xi)$  são modeladas como variáveis aleatórias estatisticamente independentes, com funções densidade de probabilidade que dependem dos ângulos  $\theta$  e  $\xi$ , respectivamente. Sejam então  $x$  e  $y$  variáveis aleatórias que modelam respectivamente os ganhos  $g_1(\theta)$  e  $g_4(\xi)$ . Neste caso (3-13) se escreve

$$\left(\frac{I}{C}\right)_{tot} = k_u x + k_d y, \quad (3-16)$$

indicando que, neste caso, a razão interferência-portadora total resultante da interferência do sistema  $S_1$  sobre o sistema  $S_V$ , é caracterizada por uma variável aleatória que pode ser expressa como uma combinação linear das variáveis aleatórias  $x$  e  $y$ .

Uma situação mais geral, envolvendo a interferência agregada produzida por múltiplos sistemas interferentes sobre o sistema vítima, pode ser analisada observando-se na Figura 3.3.

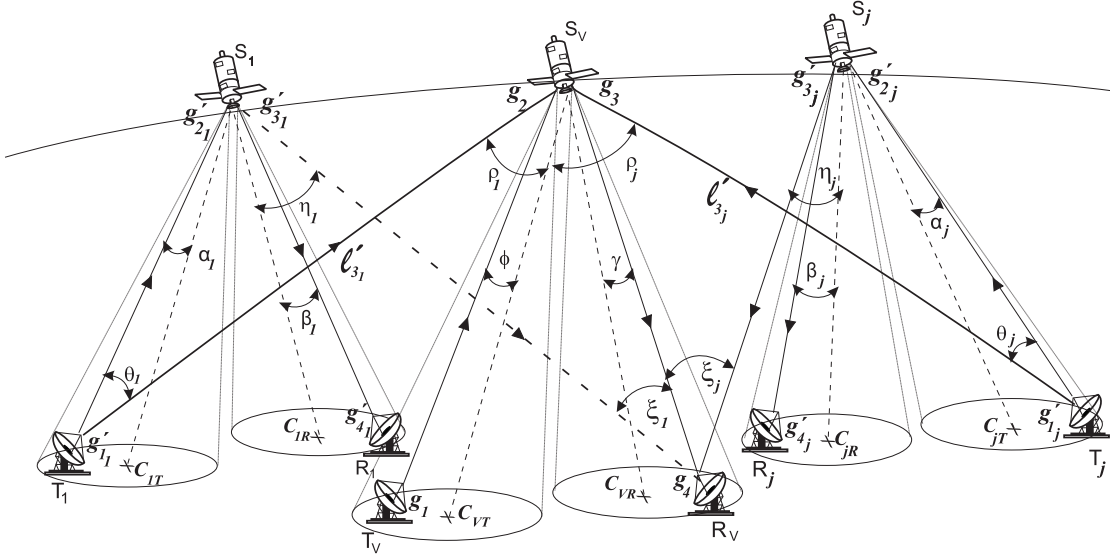


Figura 3.3: Geometria utilizada no calculo de interferência envolvendo multi- ples redes interferentes.

Considerando-se (3-11), (3-12) e a geometria da Figura 3.3, observa-se que a razão portadora-interferência total resultante da interferência do sistema  $S_j$  sobre o sistema vitima  $S_v$  pode ser escrito como

$$\left(\frac{C}{I}\right)_{tot_j} = \left[ \frac{P'_{2j} g'_{3j}(0) g_3(\gamma) g_2(\rho_j) g'_{1j}(\theta_j)}{P_2 g_3(0) g'_{3j}(\beta_j) g'_{2j}(\alpha_j) g'_{1j}(0)} + \frac{P'_{2j} \gamma_{10j} g'_{3j}(\eta_j) g_4(\xi_j)}{P_2 \gamma_{V0} g'_{3j}(\beta_j) g'_{4j}(0)} \right]^{-1} \quad (3-17)$$

Um desenvolvimento análogo ao que foi feito para obter (3-13), no qual os ganhos das antenas das estações terrenas (transmissora interferente e receptora vitima) foram modelados por variáveis aleatórias, pode ser utilizado a partir de (3-17) para obter.

$$\left(\frac{I}{C}\right)_{tot_j} = k_{uj} x_j + k_{dj} y_j \quad (3-18)$$

onde as constantes  $k_{uj}$  e  $k_{dj}$  são obtidas diretamente de (3-14) e (3-15), sendo dadas por

$$k_{uj} = \frac{P'_{2j} g'_{3j}(0) g_3(\gamma) g_2(\rho_j)}{P_2 g_3(0) g'_{3j}(\beta_j) g'_{2j}(\alpha_j) g'_{1j}(0)} \quad (3-19)$$

e

$$k_{dj} = \frac{P'_{2j} \gamma_{10j} g'_{3j}(\eta_j)}{P_2 \gamma_{V0} g'_{3j}(\beta_j) g'_{4j}(0)} \quad (3-20)$$

Em (3-18),  $x_j$  e  $y_j$  modelam, respectivamente os ganhos  $g'_{1_j}(\theta_j)$  e  $g_4(\xi_j)$ . Note que (3-18) corresponde à razão interferência-portadora quando apenas a  $j$ -ésima rede interferente é considerada.

Considerando-se a interferência total devida a todas as  $N$  redes interferentes, obtém-se a razão interferência agregada-portadora, dada por

$$\left(\frac{I_{agg}}{C}\right) = \frac{\sum_{j=1}^N I_j}{C} = \sum_{j=1}^N \left(\frac{I_j}{C}\right) \quad (3-21)$$

onde  $I_{agg}$  é a potência interferente total, na estação terrena receptora do sistema vítima, e  $I_j$  é a potência interferente devida apenas à rede  $j$ , na mesma estação terrena.

A partir de (3-21), e considerando-se (3-18), obtém-se

$$\left(\frac{C}{I}\right)_{totagg}^{-1} = \left(\frac{I_{agg}}{C}\right) = \sum_{j=1}^N [k_{uj} x_j + k_{dj} y_j] \quad (3-22)$$

onde  $k_{uj}$  e  $k_{dj}$  são dados por (3-19) e (3-20).

Note que (3-22) indica que a razão interferência agregada-portadora, resultante da interferência de múltiplos sistemas ( $S_j$ ,  $j = 1, 2 \dots N$ ) sobre o sistema vítima  $S_v$  é caracterizada por uma variável aleatória que pode também ser expressa como a combinação linear das  $2N$  variáveis aleatórias  $x_1, x_2, \dots, x_N, y_1, y_2, \dots, y_N$

Note que  $x_j$  é a variável aleatória que modela o ganho da antena da estação terrena interferente considerada na rede  $j$ , na direção do satélite  $S_v$ . De maneira análoga,  $y_j$  modela o ganho, da antena da estação terrena receptora vítima do enlace considerado na rede interferida, na direção do satélite  $S_j$ .

### 3.3

#### Função Densidade de Probabilidade da Razão Interferência-Portadora

Seja  $R_{1j}$  a região angular correspondente aos lóbulos laterais da antena da estação terrena transmissora da  $j$ -ésima rede interferente. Neste trabalho, considera-se que, se  $\theta_j \in R_{1j}$ ,  $x_j$  é modelado por uma variável aleatória com função densidade de probabilidade  $p_{x_j}(X_j)$ . Caso  $\theta_j \notin R_{1j}$ ,  $x_j$  corresponde a um parâmetro não aleatório com valor igual a  $g'_{1j}(\theta_j)$ . Neste caso  $x_j$  pode ser considerado como uma variável aleatória que assume o valor  $g'_{1j}(\theta_j)$  com probabilidade 1, ou seja, como uma variável aleatória com função densidade de probabilidade  $\delta(X_j - g'_{1j}(\theta_j))$ .

De maneira análoga, seja  $R_4$  a região angular correspondente aos lóbulos laterais da antena da estação terrena receptora da rede vítima. Considera-se que, se  $\xi_j \in R_4$ ,  $y_j$  é modelado por uma variável aleatória com função densidade de probabilidade  $p_{y_j}(Y_j)$ . Caso  $\xi_j \notin R_4$ ,  $y_j$  corresponde a um parâmetro não aleatório com valor igual a  $g_4(\xi_j)$ . Neste caso  $y_j$  pode ser considerado como uma variável aleatória que assume o valor  $g_4(\xi_j)$  com probabilidade 1, ou seja, como uma variável aleatória com função densidade de probabilidade  $\delta(Y_j - g_4(\xi_j))$ .

Note que (3-22) pode ainda ser escrita como

$$\left(\frac{C}{I}\right)_{tot}^{-1} = \sum_{j=1}^N [w_j + v_j] \quad (3-23)$$

onde

$$w_j = k_{uj}x_j \quad (3-24)$$

e

$$v_j = k_{dj}y_j \quad (3-25)$$

com  $x_j$  e  $y_j$  modelando respectivamente, os ganhos  $g'_{1j}(\theta_j)$  e  $g_4(\xi)$ .

Neste caso, obtém-se facilmente

$$p_{w_j}(W_j) = \begin{cases} \frac{1}{|k_{uj}|} p_{x_j}\left(\frac{W_j}{k_{uj}}\right) & ; \theta_j \in R_{1j} \\ \delta(W_j - k_{uj}g'_{1j}(\theta_j)) & ; \theta_j \notin R_{1j} \end{cases} \quad (3-26)$$

e

$$p_{v_j}(V_j) = \begin{cases} \frac{1}{|k_{dj}|} p_{y_j}\left(\frac{V_j}{k_{dj}}\right) & ; \xi_j \in R_4 \\ \delta(V_j - k_{dj}g_4(\xi_j)) & ; \xi_j \notin R_4 \end{cases} \quad (3-27)$$

De modo a facilitar o desenvolvimento matemático ao longo desta seção, é conveniente que que (3-23) seja escrita em termos de um único somatório. Assim, a variável aleatória  $z$ , que caracteriza a o inverso da razão portadora-interferência agregada total, pode ser escrita como a soma de  $2N$  variáveis aleatórias  $z_j$ ,  $j = 1, 2, \dots, 2N$  ou seja,

$$z = \left(\frac{I}{C}\right)_{tot_{agg}} = \sum_{j=1}^{2N} z_j \quad (3-28)$$

onde

$$z_j = \begin{cases} w_j & ; j = 1, 2, \dots, N \\ v_{j-N} & ; j = N + 1, N + 2, \dots, 2N \end{cases} \quad (3-29)$$

Note que as funções densidade de probabilidade das variáveis aleatórias  $z_j$  são dadas por

$$p_{z_j}(Z_j) = \begin{cases} p_{w_j}(Z_j) & ; j = 1, 2, \dots, N \\ p_{v_{j-N}}(Z_j) & ; j = N + 1, N + 2, \dots, 2N \end{cases} \quad (3-30)$$

com  $p_{w_j}(\ )$  e  $p_{v_j}(\ )$  dados por (3-26) e (3-27), respectivamente.

Substituindo-se (3-26) e (3-27) em (3-30), obtém-se

$$p_{z_j}(Z_j) = \begin{cases} \frac{1}{|k_{uj}|} p_{x_j}\left(\frac{Z_j}{k_{uj}}\right) & ; \theta_j \in R_{1j} & ; j = 1, \dots, N \\ \delta(Z_j - k_{uj}g'_{1j}(\theta_j)) & ; \theta_j \notin R_{1j} & ; j = 1, \dots, N \\ \frac{1}{|k_{d(j-N)}|} p_{y_j}\left(\frac{Z_j}{k_{d(j-N)}}\right) & ; \xi_{j-N} \in R_4 & ; j = N + 1, \dots, 2N \\ \delta(Z_j - k_{d(j-N)}g_4(\xi_{j-N})) & ; \xi_{j-N} \notin R_4 & ; j = N + 1, \dots, 2N \end{cases} \quad (3-31)$$

Considerando-se que em (3-28) as variáveis aleatórias  $z_j$  são estatisticamente independentes, a função característica da variável aleatória  $z$  se escreve

$$M_z(v) = \prod_{j=1}^{2N} M_{z_j}(v) \quad (3-32)$$

onde  $M_{z_j}(v), j = 1, 2, \dots, 2N$ , representam as funções características das parcelas  $z_j$ .

Levando-se em conta (3-24), (3-25) e o fato da função característica de uma variável aleatória  $x$  com função densidade de probabilidade  $\delta(X - A)$  ser dada por

$$M_x(v) = e^{ivA} \quad (3-33)$$

(com  $i$  representando a raiz quadrada de  $-1$ ), obtém-se, a partir de (3-26)

$$M_{w_j}(v) = \begin{cases} M_{x_j}(k_{uj}v) & ; \theta_j \in R_{1j} \\ \exp(ivk_{uj}g'_{1j}(\theta_j)) & ; \theta_j \notin R_{1j} \end{cases} \quad (3-34)$$

e a partir de (3-27)

$$M_{v_j}(v) = \begin{cases} M_{y_j}(k_{dj}v) & ; \xi_j \in R_4 \\ \exp(ivk_{dj}g_4(\xi_j)) & ; \xi_j \notin R_4 \end{cases} \quad (3-35)$$

Tem-se então, de (3-31),

$$M_{z_j}(v) = \begin{cases} M_{x_j}(k_{uj}v) & ; \theta_j \in R_{1j} & ; j = 1, \dots, N \\ \exp(ivk_{uj}g'_{1j}(\theta_j)) & ; \theta_j \notin R_{1j} & ; j = 1, \dots, N \\ M_{y_{j-N}}(k_{d(j-N)}v) & ; \xi_{j-N} \in R_4 & ; j = N + 1, \dots, 2N \\ \exp(ivk_{d(j-N)}g_4(\xi_{j-N})) & ; \xi_{j-N} \notin R_4 & ; j = N + 1, \dots, 2N \end{cases} \quad (3-36)$$

Considerando-se (3-36), (3-32), se escreve

$$M_z(v) = \prod_{j \in \mathcal{U}} M_{x_j}(k_{uj}v) \cdot \prod_{j \in \bar{\mathcal{U}}} e^{ivk_{uj}g'_{1j}(\theta_j)} \cdot \prod_{j \in \mathcal{D}} M_{y_{j-N}}(k_{d(j-N)}v) \cdot \prod_{j \in \bar{\mathcal{D}}} e^{ivk_{d(j-N)}g_4(\xi_{j-N})} \quad (3-37)$$

onde os conjuntos  $\mathcal{U}$ ,  $\bar{\mathcal{U}}$ ,  $\mathcal{D}$  e  $\bar{\mathcal{D}}$  constituem a partição do conjunto  $\{1, 2, \dots, 2N\}$  dada por

$$\mathcal{U} = \{j \in \{1, 2, \dots, N\} : \theta_j \in R_{1j}\} \quad (3-38)$$

$$\bar{\mathcal{U}} = \{j \in \{1, 2, \dots, N\} : \theta_j \notin R_{1j}\} \quad (3-39)$$

$$\mathcal{D} = \{j \in \{N+1, N+2, \dots, 2N\} : \xi_{j-N} \in R_4\} \quad (3-40)$$

$$\bar{\mathcal{D}} = \{j \in \{N+1, N+2, \dots, 2N\} : \xi_{j-N} \notin R_4\} \quad (3-41)$$

Note que (3-37) pode ainda ser escrita como

$$M_z(v) = (e^{ivK}) \left[ \prod_{j \in \mathcal{U}} M_{x_j}(k_{uj}v) \prod_{j \in \mathcal{D}} M_{y_{j-N}}(k_{d(j-N)}v) \right] \quad (3-42)$$

onde

$$K = \sum_{j \in \bar{\mathcal{U}}} k_{uj}g'_{1j}(\theta_j) + \sum_{j \in \bar{\mathcal{D}}} k_{d(j-N)}g_4(\xi_{j-N}) \quad (3-43)$$

Finalmente, a função densidade de probabilidade da variável aleatória  $z$ , que caracteriza o inverso da razão portadora-interferência agregada total, pode ser obtida a partir de (3-42), chegando-se a

$$p_z(Z) = p_{I/C}(Z) = F(Z - K) \quad (3-44)$$

onde

$$F(Z) = \frac{1}{2\pi} \int_{-\infty}^{\infty} \left[ \prod_{j \in \mathcal{U}} M_{x_j}(k_{uj}v) \prod_{j \in \mathcal{D}} M_{y_{j-N}}(k_{d(j-N)}v) \right] e^{-jvZ} dv \quad (3-45)$$

com  $K$  dado por (3-43).

Considere agora que  $\frac{i}{c}$  seja a razão interferência-portadora, expressa em dB, ou seja,

$$\frac{i}{c} = 10 \log \left( \frac{I}{C} \right) \quad (3-46)$$

Neste caso, a função densidade de probabilidade da razão interferência-  
portadora em dB se escreve

$$p_{i/c}(\alpha) = \frac{\ln 10}{10} 10^{\alpha/10} p_{I/C}(10^{\alpha/10}) \quad (3-47)$$

com  $p_{I/C}(Z)$  dada por (3-44).

A partir de (3-47) é possível obter a Distribuição cumulativa de probabilidade da razão  $i/c$ , dada por

$$C_{i/c}(\alpha) = P\left(\frac{i}{c} > \alpha\right) = \int_{\alpha}^{\infty} p_{i/c}(\beta) d\beta \quad (3-48)$$

e a Função distribuição de probabilidade da razão portadora-interferência, dada por

$$F_{c/i}(\alpha) = P\left(\frac{c}{i} \leq \alpha\right) = P\left(\frac{i}{c} \geq -\alpha\right) = C_{i/c}(-\alpha) + P\left(\frac{i}{c} = \alpha\right) \quad (3-49)$$

Neste trabalho, são consideradas 3 probabilidades para a modelagem dos ganhos nos lóbulos laterais das antenas das estações terrenas:

- (i) Modelagem como variáveis aleatórias com função densidade de probabilidade exponencial;
- (ii) Modelagem como variáveis aleatórias com função densidade de probabilidade gamma. e
- (iii) Modelagem aproximada dos casos (i) e (ii), considerando-se, o Teorema do Limite Central.

Cada um destas possibilidades é abordada nas seções seguintes.

### 3.3.1 Caso exponencial

Nesta seção, considera-se que , no caso dos ganhos nos lóbulos laterais, das antenas das estações terrenas, as funções densidades de probabilidade das

variáveis aleatórias  $x_j$  e  $y_j$  são dadas por

$$p_{x_j}(X_j) = a_j e^{-a_j X_j} u(X_j) \quad ; \quad j = 1, 2, \dots, N \quad (3-50)$$

e

$$p_{y_j}(Y_j) = b_j e^{-b_j Y_j} u(Y_j) \quad ; \quad j = 1, 2, \dots, N \quad (3-51)$$

Conseqüentemente, as funções características destas variáveis, são dadas por

$$M_{x_j}(v) = \frac{a_j}{(a_j - iv)} \quad ; \quad j = 1, 2, \dots, N \quad (3-52)$$

e

$$M_{y_j}(v) = \frac{b_j}{(b_j - iv)} \quad ; \quad j = 1, 2, \dots, N \quad (3-53)$$

Neste caso particular, obtêm-se de (3-42)

$$M_z(v) = (e^{ivK}) \left[ \prod_{j \in \mathcal{U}} \frac{a_j}{a_j - ivk_{uj}} \cdot \prod_{j \in \mathcal{D}} \frac{b_{j-N}}{b_{j-N} - ivk_{d(j-N)}} \right] \quad (3-54)$$

com um valor de  $K$  dado por (3-43)

Note que os produtórios que aparecem em (3-54) podem ainda ser escritos como

$$\prod_{j \in \mathcal{U}} \frac{a_j}{a_j - ivk_{uj}} \prod_{j \in \mathcal{D}} \frac{b_{j-N}}{b_{j-N} - ivk_{d(j-N)}} = \prod_{j \in (\mathcal{U} \cup \mathcal{D})} \frac{c_j}{c_j - iv} \quad (3-55)$$

onde

$$c_j = \begin{cases} \frac{a_j}{k_{uj}} & ; \quad j \in \mathcal{U} \\ \frac{b_{j-N}}{k_{d(j-N)}} & ; \quad j \in \mathcal{D} \end{cases} \quad (3-56)$$

Finalmente, considerando-se (3-42) e (3-55), obtêm-se a partir de (3-44) e (3-45)

$$p_z(Z) = F(Z - K) \quad (3-57)$$

onde

$$F(Z) = \frac{1}{2\pi} \int_{-\infty}^{\infty} \left[ \prod_{j \in (\mathcal{U} \cup \mathcal{D})} \frac{c_j}{c_j - iv} \right] e^{-jvZ} dv \quad (3-58)$$

com  $c_j$  dado por (3-56) e  $K$  dado por (3-43).

A integral em (3-58) pode ser calculada por resíduos sendo, em geral dada por

$$F(Z) = \left( - \sum_{\ell=1}^L r_{\ell} \right) u(Z) , \quad (3-59)$$

onde  $L$  é o número de singularidades da função

$$f(x) = \left( \prod_{j \in (\mathcal{U} \cup \mathcal{D})} \frac{c_j}{c_j - x} \right) e^{-xZ} , \quad (3-60)$$

no semi-plano direito e  $r_{\ell}$  é o resíduo desta função na  $\ell$ -ésima singularidade. Se a função tem um polo de ordem  $m$  em  $x_0$ , correspondente à  $\ell$ -ésima singularidade, tem-se

$$r_{\ell} = \frac{1}{(m-1)!} \lim_{x \rightarrow x_0} \frac{d^{m-1}}{dx^{m-1}} (x - x_0)^m f(x) \quad (3-61)$$

No caso particular em que a função  $f(x)$  tem apenas  $L$  polos de primeira ordem em  $c_j, j \in (\mathcal{U} \cup \mathcal{D})$ , sendo  $L$  a cardinalidade do conjunto  $\mathcal{U} \cup \mathcal{D}$ ,  $F(Z)$  se escreve

$$F(Z) = \sum_{\ell \in (\mathcal{U} \cup \mathcal{D})} A_{\ell} e^{-c_{\ell}Z} \quad (3-62)$$

onde

$$A_{\ell} = \left( \prod_{j \in (\mathcal{U} \cup \mathcal{D})} c_j \right) \left( \prod_{\substack{j \in (\mathcal{U} \cup \mathcal{D}) \\ j \neq \ell}} (c_j - c_{\ell}) \right)^{-1} \quad (3-63)$$

### 3.3.2

#### Caso gama

Neste seção, considera-se que, no caso de ganhos nos lóbulos laterais, das antenas das estações terrenas, as funções densidade de probabilidade das

variáveis aleatórias  $x_j$  e  $y_j$  são dados por

$$p_{x_j}(X_j) = \frac{1}{\Gamma(q_j)} a_j^{q_j} X_j^{q_j-1} e^{-a_j X_j} u(X_j) \quad ; \quad j = 1, 2, \dots, N \quad (3-64)$$

e

$$p_{y_j}(Y_j) = \frac{1}{\Gamma(r_j)} b_j^{r_j} Y_j^{r_j-1} e^{-b_j Y_j} u(Y_j) \quad ; \quad j = 1, 2, \dots, N \quad (3-65)$$

Conseqüentemente, as funções características destas variáveis aleatórias, são dadas por

$$M_{x_j}(v) = \frac{(a_j)^{q_j}}{(a_j - iv)^{q_j}} \quad ; \quad j = 1, 2, \dots, N \quad (3-66)$$

e

$$M_{y_j}(v) = \frac{(b_j)^{r_j}}{(b_j - iv)^{r_j}} \quad ; \quad j = 1, 2, \dots, N \quad (3-67)$$

Neste caso particular, obtêm-se de (3-42)

$$M_z(v) = (e^{ivK}) \left[ \prod_{j \in \mathcal{U}} \frac{(a_j)^{q_j}}{(a_j - ivk_{uj})^{q_j}} \cdot \prod_{j \in \mathcal{D}} \frac{(b_{j-N})^{r_{j-N}}}{(b_{j-N} - ivk_{d(j-N)})^{r_{j-N}}} \right] \quad (3-68)$$

com um valor de  $K$  dado por (3-43)

Note que os produtórios que aparecem em (3-68) podem ainda ser escritos como

$$\prod_{j \in \mathcal{U}} \frac{(a_j)^{q_j}}{(a_j - ivk_{uj})^{q_j}} \cdot \prod_{j \in \mathcal{D}} \frac{(b_{j-N})^{r_{j-N}}}{(b_{j-N} - ivk_{d(j-N)})^{r_{j-N}}} = \prod_{j \in (\mathcal{U} \cup \mathcal{D})} \frac{(c_j)^{s_j}}{(c_j - iv)^{s_j}} \quad (3-69)$$

onde

$$c_j = \begin{cases} \frac{a_j}{k_{uj}} & ; \quad j \in \mathcal{U} \\ \frac{b_{j-N}}{k_{d(j-N)}} & ; \quad j \in \mathcal{D} \end{cases} \quad (3-70)$$

e

$$s_j = \begin{cases} q_j & ; \quad j \in \mathcal{U} \\ r_{j-N} & ; \quad j \in \mathcal{D} \end{cases} \quad (3-71)$$

Finalmente, considerando-se (3-68) e (3-69), obtêm-se a partir de (3-44) e (3-45)

$$p_z(Z) = F(Z - K) \quad (3-72)$$

onde

$$F(Z) = \frac{1}{2\pi} \int_{-\infty}^{\infty} \left[ \prod_{j \in (\mathcal{U} \cup \mathcal{D})} \frac{(c_j)^{s_j}}{(c_j - iw)^{s_j}} \right] e^{-jvZ} dv \quad (3-73)$$

com  $c_j$  dado por (3-70) e  $K$  dado por (3-43).

Conforme indicado em [1], a integral em (3-73) pode ser calculada utilizando-se a série

$$F(Z) = C \sum_{k=0}^{\infty} \delta_k \frac{Z^{\rho+k-1} (c^*)^{\rho+k}}{\Gamma(\rho+k)} e^{-c^*Z} \quad ; \quad Z > 0 \quad (3-74)$$

onde

$$\rho = \sum_{j \in \mathcal{U} \cup \mathcal{D}} s_j \quad (3-75)$$

$$c^* = \max_{j \in \mathcal{U} \cup \mathcal{D}} c_j \quad (3-76)$$

e

$$C = \prod_{j \in \mathcal{U} \cup \mathcal{D}} \left( \frac{c_j}{c^*} \right)^{s_j} \quad (3-77)$$

Em (3-74), os coeficientes  $\delta_k$  são dados por

$$\delta_{k+1} = \frac{1}{k+1} \sum_{i=1}^{k+1} i \gamma_i \delta_{k+1-i} \quad ; \quad k = 0, 1, \dots \quad (3-78)$$

com  $\delta_0 = 1$  onde

$$\gamma_{k+1} = \sum_{j \in \mathcal{U} \cup \mathcal{D}} \frac{s_j \left(1 - \frac{c_j}{c^*}\right)^k}{k} \quad ; \quad k = 1, 2, \dots \quad (3-79)$$

A convergência da série em (3-74) é demonstrada em [1].

### 3.3.3

#### Aproximação gaussiana

Conforme indicado em (3-28), a variável aleatória  $z$ , que caracteriza o inverso da razão portadora interferência agregada, pode ser escrita como a soma de  $2N$  variáveis aleatórias. O Teorema de Limite Central garante que para valores de  $N$  suficientemente grandes, a função densidade de probabili-

dade de variável aleatória  $z$  tende a uma função densidade de probabilidade gaussiana. Assim, para cada um dos casos analisados (caso exponencial e caso gama), considerou-se também uma aproximação gaussiana para a função densidade de probabilidade de  $z$ , ou seja, No caso exponencial as parcelas  $z_j$ ,  $j = 1, 2, \dots, 2N$  em (3-28), correspondem a variáveis aleatórias com função densidade de probabilidade exponenciais de parâmetros  $c_j, j = 1, 2, \dots, 2N$ , respectivamente. Conseqüentemente a variável aleatória  $z$  tem média dada por

$$m_z = \sum_{j=1}^{2N} \frac{1}{c_j} \quad (3-80)$$

e, no caso de parcelas  $z_j$  estatisticamente independentes, variância dada por

$$\sigma_z^2 = \sum_{j=1}^{2N} \frac{1}{c_j^2} \quad (3-81)$$

Em (3-80) e (3-81), o parâmetro  $c_j$  é dado por (3-56).

No caso gamma as parcelas  $z_j$ ,  $j = 1, 2, \dots, 2N$  em (3-28), correspondem a variáveis aleatórias com função densidade de probabilidade gamma de parâmetros  $(c_j, s_j), j = 1, 2, \dots, 2N$ , respectivamente. Conseqüentemente a variável aleatória  $z$  tem média dada por

$$m_z = \sum_{j=1}^{2N} \frac{s_j}{c_j} \quad (3-82)$$

e, no caso de parcelas  $z_j$  estatisticamente independentes, variância dada por

$$\sigma_z^2 = \sum_{j=1}^{2N} \frac{s_j}{(c_j)^2} \quad (3-83)$$

Em (3-82) e (3-83), os parâmetros  $c_j$  e  $s_j$  são dados por (3-70) e (3-71), respectivamente.